

纳米 TiO_2 膜修饰电极异相电催化还原马来酸

顾家山^a 褚道葆^{*, a} 周幸福^a 沈广霞^b

(^a 安徽师范大学化学与材料科学学院 芜湖 241000)

(^b 厦门大学化学系 厦门 361005)

摘要 通过电化学合成前驱体和溶胶-凝胶法在 Ti 表面修饰一层纳米 TiO_2 膜, SEM, XRD 测试表明晶型为锐钛矿型, 晶粒平均尺寸为 25 nm。采用循环伏安法、循环方波伏安法和电解合成法研究了纳米 TiO_2 膜电极在硫酸介质中的氧化还原行为以及对马来酸(maleic acid)还原的电催化活性。结果表明, 纳米 TiO_2 膜电极在阴极扫描时有两对可逆氧化还原峰, 可逆半波电位 $E_{1/2}^r$ 分别为 -0.53 V 和 -0.92 V (vs. SCE, 扫描速度 $0.05 \text{ V} \cdot \text{s}^{-1}$), 对应于 $\text{TiO}_2/\text{Ti}_2\text{O}_3$ 和 $\text{TiO}_2/\text{Ti(OH)}_3$ 两个氧化还原电对的可逆电极过程。其中 $\text{TiO}_2/\text{Ti}_2\text{O}_3$ 电对对马来酸具有异相电催化还原活性, 纳米 TiO_2 膜中的 $\text{Ti}^{IV}/\text{Ti}^{III}$ 氧化还原电对作为媒介间接电还原马来酸为丁二酸(butane diacid), 反应机理为电化学偶联随后化学催化反应(EC)机理。

关键词 纳米 TiO_2 膜电极, 电催化, 循环伏安, 马来酸, 丁二酸

Heterogeneous Electrocatalytic Reduction of Maleic Acid on Nanocrystalline TiO_2 Film Modified Ti Electrode

GU, Jia-Shan^a CHU, Da-e Bao^{*, a} ZHOU, Xing-Fu^a SHEN, Guang-Xia^b

(^a College of Chemistry and Materials Science, Anhui Normal University, Wuhu 241000)

(^b Department of Chemistry, Xiamen University, Xiamen 361005)

Abstract The precursor Ti(OEt)_4 was prepared by anodic dissolution of metallic titanium in absolute ethanol and direct hydrolysis to prepare nanocrystalline TiO_2 film on titanium electrode (Ti/nano-TiO_2) by a sol-gel process. SEM and XRD were used to characterize the structure of nanocrystalline TiO_2 film (anatase, 25 nm). Redox behavior and electrocatalytic activities of the Ti/nano-TiO_2 electrode were investigated by cyclic voltammetry (CV) and cyclic oxygen square wave voltammetry (COV) and bulk electrolysis. The results indicate that there are two pairs of well-defined redox peaks for Ti/nano-TiO_2 film electrode in 1 mol/L H_2SO_4 with $E_{1/2}^r$ of -0.53 V and -0.92 V (vs. SCE) at $0.05 \text{ V} \cdot \text{s}^{-1}$ in correspondence with $\text{TiO}_2/\text{Ti}_2\text{O}_3$ and $\text{TiO}_2/\text{Ti(OH)}_3$ reversible electrode process and the heterogeneous electrocatalytic reduction activities of $\text{TiO}_2/\text{Ti}_2\text{O}_3$ redox in the electrode for maleic acid. It is found that the indirect electroreduction of maleic acid to butane diacid was achieved by $\text{Ti}^{IV}/\text{Ti}^{III}$ redox system on the nanocrystalline TiO_2 film surface, the electrode reaction mechanism is the called catalytic (EC) mechanism.

Keywords nanocrystalline TiO_2 film electrode, electrocatalysis, cyclic voltammetry, maleic acid, butane diacid

纳米 TiO_2 膜电极由于具有独特的光电性质和电化学性质, 已成为当前研究的热点^[1, 2], 有关电极的制备方法、表征以及光电化学研究均有大量报道^[3, 4], 但纳米 TiO_2 膜作为有机还原反应异相电催化剂的研究报道却很少。Mbindyo 和

Rusling^[5] 最近报道过使用纳米 TiO_2 膜作为阴极电催化剂载体的研究结果。本研究的目的则是直接使用纳米 TiO_2 膜作为阴极电催化剂, 探讨一种更为简单、高效的间接电化学合成有机物的方法。

* E-mail: dbchu@sina.com.cn; Fax: 0553-3869303.

Received November 28, 2002; revised March 28, 2003; accepted May 16, 2003.

© 1994-2012 China Academic Journal Electronic Publishing House. All rights reserved. <http://www.cnki.net>

间接电化学合成是一种使用媒质(mediator)作为氧化剂和还原剂的电催化(EC')过程。大部分例子为均相(homogeneous)氧化还原催化过程，媒质如金属离子 Ti^{4+}/Ti^{3+} , Sn^{4+}/Sn^{2+} , Mn^{3+}/Mn^{2+} 氧化还原电对溶解在溶液中，从而大幅度提高电流效率，但存在产物和媒质易形成配合物及产物难以分离的问题^[6]。把氧化还原催化剂固定在电极表面的异相(heterogeneous)电催化方法具有更为显著的优点^[7,8]。本文采用一种低成本、高效率的电合成前驱体直接水解法制备钛基纳米 TiO_2 膜修饰电极，并通过扫描电子显微镜(SEM)和X射线衍射仪(XRD)测试表征纳米 TiO_2 膜的表面形貌和结构，采用循环伏安法、循环方波伏安法和电解合成法研究纳米 TiO_2 膜的氧化还原行为以及修饰电极对马来酸(maleic acid, MA)还原的电催化活性，试图揭示纳米 TiO_2 膜修饰电极异相电催化的本质。

1 实验部分

1.1 材料与仪器

所用试剂乙醇、马来酸、硫酸等均为分析纯，用二次去离子水配制溶液。 Ti 金属用TA₁型纯钛(纯度为99.5%)。电化学实验用CHI660A电化学工作站(USA CH Instrument)和LK98A电化学分析系统(天津兰力科公司)，8511B型恒电位/恒电流仪(延边电化学仪器厂)。膜表征用Model S520 SEM(Hitachi, Japan)和Rigaku-2400 XRD，高效液相色谱(HPLC)分析仪器为Waters HPLC246 E色谱仪，电解槽为自制的三室离子膜玻璃电解槽。

1.2 纳米 TiO_2 膜电极的制备与表征

前驱体 $Ti(OEt)_4$ 的电合成见文献[9~11]，纳米 TiO_2 膜电极的制备过程如下：将 Ti 条和 Ti 片经砂纸打磨去油后，放入HF和HCl的混合溶液中进行表面浸蚀，再经无水乙醇清洗晾干；按文献[12,13]的方法制成 TiO_2 溶胶，采用提拉法将 TiO_2 溶胶涂覆在 Ti 表面，自然干燥后红外灯下加热干燥20 min，马弗炉中恒温723 K煅烧30 min，冷却后取出。上述过程重复操作4~5次，即制成 Ti 基纳米 TiO_2 ($Ti/nano-TiO_2$)膜电极。

1.3 循环伏安、循环方波伏安和电解合成研究

循环伏安和循环方波伏安研究采用三电极系统， $Ti/nano-TiO_2$ 膜电极(0.04 cm^2)作研究电极，Pt片电极作辅助电极，参比电极为饱和甘汞电极(SCE)，电解液分别为 $1\text{ mol}\cdot\text{L}^{-1} H_2SO_4$ 溶液和 $0.25\text{ mol}\cdot\text{L}^{-1}$ 马来酸+ $1\text{ mol}\cdot\text{L}^{-1} H_2SO_4$ 的混合溶液，在不同扫描速度下得到循环伏安图。

电解在三室离子膜电解槽中进行，网状 $Ti/nano-TiO_2$ 膜电极(10 cm^2)作阴极，Pb电极作阳极，阴极电解液为 $1.0\text{ mol}\cdot\text{L}^{-1}$ 马来酸+ $1\text{ mol}\cdot\text{L}^{-1} H_2SO_4$ 的混合溶液，阳极液为 $1\text{ mol}\cdot\text{L}^{-1} H_2SO_4$ 溶液，在室温和常压下控制电位电解，电解结束后将阴极电解液冷却结晶分离得到产物丁二酸(butane diacid)，测定熔点和含量。

2 结果与讨论

2.1 纳米 TiO_2 膜的表征

图1为在不同温度煅烧后的纳米 TiO_2 膜的XRD谱图，可以看出，在473 K温度下煅烧0.5 h后的 TiO_2 膜其晶型尚不完整(图1a)，在723 K温度下煅烧0.5 h后的 TiO_2 膜的晶型结构主要为锐钛矿型(图1b)。根据Scherrer公式($D = k\lambda/\beta \cos \theta$)计算^[14]，晶粒大小约25 nm。文献[1~4]报道过在同样煅烧条件下得到纯的纳米 TiO_2 膜，这与我们的结果一致。图2为在723 K温度下煅烧0.5 h后的纳米 TiO_2 膜的SEM照片，膜的表面形貌为裂纹网状，由于经过4~5次涂膜，从而得到多层网状结构的纳米 TiO_2 膜，这种网状结构的纳米 TiO_2 膜有利于电解质和 TiO_2 粒子的充分接触，也大大提高电极的真实表面积，增强了电极活性。

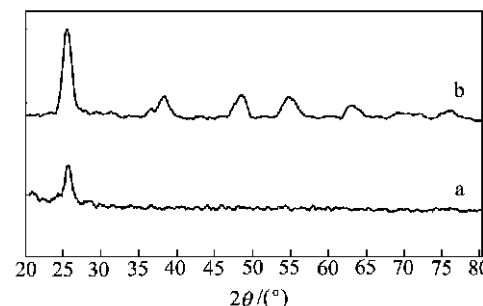


图1 纳米 TiO_2 膜在不同温度煅烧后的XRD谱图

(a) $T = 473\text{ K}$ 煅烧0.5 h；(b) $T = 723\text{ K}$ 煅烧0.5 h

Figure 1 XRD patterns of the nanocrystalline TiO_2 film calcined at different temperature
(a) Calcined at $T = 473\text{ K}$ for 0.5 h; (b) calcined at $T = 723\text{ K}$ for 0.5 h

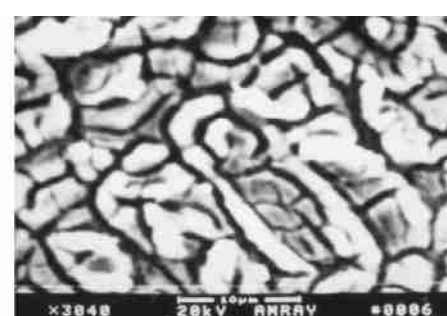


图2 纳米 TiO_2 膜在 $T = 723\text{ K}$ 温度下煅烧0.5 h后的SEM照片

Figure 2 SEM photograph of the nanocrystalline TiO_2 film calcined at $T = 723\text{ K}$ for 0.5 h

2.2 纳米 TiO_2 膜电极的氧化还原行为

图3为 $Ti/nano-TiO_2$ 膜电极在 $1\text{ mol}\cdot\text{L}^{-1} H_2SO_4$ 中的循环伏安图。从图中可以看出，在 $0.2\sim 1.2\text{ V}$ (vs. SCE)扫描电位区间出现两对氧化还原峰，第一对峰的还原峰电位 E_{pl1} 为 -0.56 V ，氧化峰电位 E_{pa1} 为 -0.52 V ， ΔE_{pl1} 小于60 mV(扫描速度为 $0.05\text{ V}\cdot\text{s}^{-1}$)。第二对峰的还原峰电位 E_{pl2} 为

-0.98 V, 氧化峰电位 $E_{\text{pa}2}$ 为 -0.86 V, ΔE_{pa} 约为 120 mV(扫描速度为 $0.05 \text{ V}\cdot\text{s}^{-1}$); -1.2 V 后出现氢的析出电流。两对氧化还原峰的峰电流 i_p 随着扫描速度的增加而增加, 电流函数 $i_p/v^{1/2}$ 与扫描速度无关, 峰电流比 $i_{\text{pc}}/i_{\text{pa}}$ 约为 1, 这些结果表明第一对反应为可逆电荷跃迁过程, 第二对反应为准可逆电荷跃迁过程^[15]。

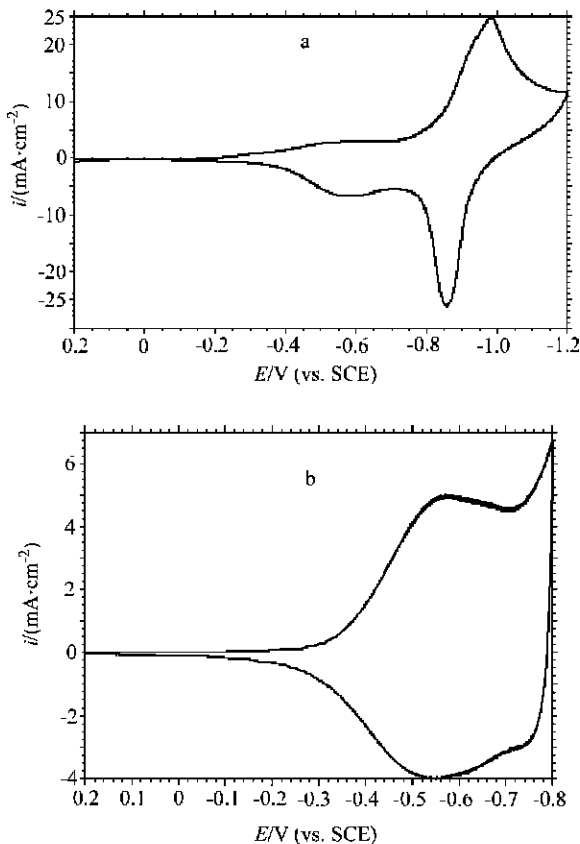


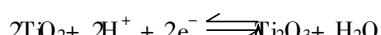
图 3 $\text{Ti}/\text{nano}-\text{TiO}_2$ 电极在 $1 \text{ mol/L H}_2\text{SO}_4$ 中的循环伏安图

扫描速度: $0.05 \text{ V}\cdot\text{s}^{-1}$, 扫描范围: (a) $0.2\sim -1.2 \text{ V}$; (b) $0.2\sim -0.8 \text{ V}$
Figure 3 Cyclic voltammetric behavior of the $\text{Ti}/\text{nano}-\text{TiO}_2$ electrode in $1 \text{ mol/L H}_2\text{SO}_4$

Sweep rate: $0.05 \text{ V}\cdot\text{s}^{-1}$, sweep area: (a) $0.2\sim -1.2 \text{ V}$; (b) $0.2\sim -0.8 \text{ V}$

图 4 为 $\text{Ti}/\text{nano}-\text{TiO}_2$ 膜电极在 $1 \text{ mol}\cdot\text{L}^{-1} \text{H}_2\text{SO}_4$ 中的循环方波伏安曲线, 从图中可以明显看出第一对峰完全对称, 氧化峰电位和还原峰电位完全相同, 可逆半波电位 $E_{1/2}^{\text{r}}$ 为 -0.53 V (vs. SCE), 第二对峰的峰电位略有差异, $E_{1/2}^{\text{r}}$ 为 -0.92 V (vs. SCE), 这进一步证实第一对反应的可逆性和第二对反应的准可逆性。

$\text{Ti}/\text{nano}-\text{TiO}_2$ 膜电极在酸中稳定不溶, 经反复扫描未发现有可溶性产物。根据反应为一电子可逆过程, 并和理论计算的标准电极电位比较^[16], 第一对反应为 $\text{TiO}_2/\text{Ti}_2\text{O}_3$ 的可逆电极过程:



$$E^\circ = -0.56 \text{ V} (\text{vs. SHE}) \quad (1)$$

第二对反应为 $\text{TiO}_2/\text{Ti(OH)}_3$ 的可逆电极过程:

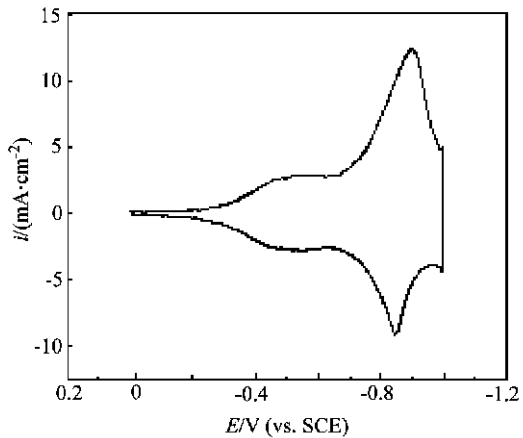
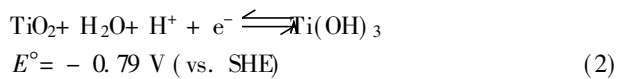


图 4 $\text{Ti}/\text{nano}-\text{TiO}_2$ 膜电极在 $1 \text{ mol}\cdot\text{L}^{-1} \text{H}_2\text{SO}_4$ 中的循环方波伏安曲线

方波幅度: 10 mV, 方波周期: 100 ms, 扫描速度: $0.1 \text{ V}\cdot\text{s}^{-1}$

Figure 4 Cyclic ostryoung square wave voltammogram of the $\text{Ti}/\text{nano}-\text{TiO}_2$ electrode in $1 \text{ mol}\cdot\text{L}^{-1} \text{H}_2\text{SO}_4$ at sweep rate of $0.1 \text{ V}\cdot\text{s}^{-1}$

$E_s: 10 \text{ mV}, T_w: 100 \text{ ms}$

文献[7, 8, 17~22] 报道过烧结陶瓷 TiO_2 电极的氧化还原行为, 但并没有取得一致认识。Beck^[7, 8] 在 $0.0\sim -1.0 \text{ V}$ (vs. SHE, 即相当于 $-0.24\sim -1.24 \text{ V}$ vs. SCE) 扫描电位范围内的循环伏安研究中发现, 在 -0.73 V (vs. SHE, 即相当于 -0.97 V vs. SCE) 出现一个还原峰, 反扫时出现对应的氧化峰, 并确认为反应(2)的氧化还原过程, 这与本研究的第二对氧化还原峰一致, 但没有同时观察到第一对氧化还原峰的存在。Ravichandran^[17~20] 和 Vasudevan^[21, 22] 等人在 TiO_2 电极的循环伏安研究中控制扫描电位在 $0.2\sim -0.8 \text{ V}$ (vs. SCE) 范围内, 所以没有观察到第二对氧化还原峰, 而只在 -0.54 V (vs. SCE) 附近观察到第一对氧化还原峰, 但他们认为是反应(2)的氧化还原过程。很显然这是不恰当的, 因为第一对氧化还原峰的峰电位与 $\text{TiO}_2/\text{Ti(OH)}_3$ 氧化还原电对的标准电极电位 [-0.79 V (vs. SHE)]^[16] 相差甚远。本研究在 $0.2\sim -1.2 \text{ V}$ (vs. SCE) 的电位扫描范围内, 通过循环伏安法和循环方波伏安法研究首次发现, 纳米 TiO_2 膜电极在 $1 \text{ mol}\cdot\text{L}^{-1} \text{H}_2\text{SO}_4$ 中的氧化还原行为有两个显著的可逆电极过程, 即 $\text{TiO}_2/\text{Ti}_2\text{O}_3$ 和 $\text{TiO}_2/\text{Ti(OH)}_3$ 两个氧化还原电对, 它们均可作为不同有机物还原反应的异相电催化媒质。进一步深入研究将揭示纳米 TiO_2 膜电极的电催化本质。

2.3 纳米 TiO_2 膜电极的电催化活性

图 5 为 $\text{Ti}/\text{nano}-\text{TiO}_2$ 膜电极在 $0.25 \text{ mol}\cdot\text{L}^{-1}$ 马来酸 + $1 \text{ mol}\cdot\text{L}^{-1} \text{H}_2\text{SO}_4$ 的混合溶液中的循环伏安图。和图 3a 比较第一对氧化还原峰的阴极峰电流 i_{pc} 明显增大, 对应的阳极峰电流基本消失, 而第二对氧化还原峰的 $i_{\text{pc}2}$ 和 $i_{\text{pa}2}$ 均没有明

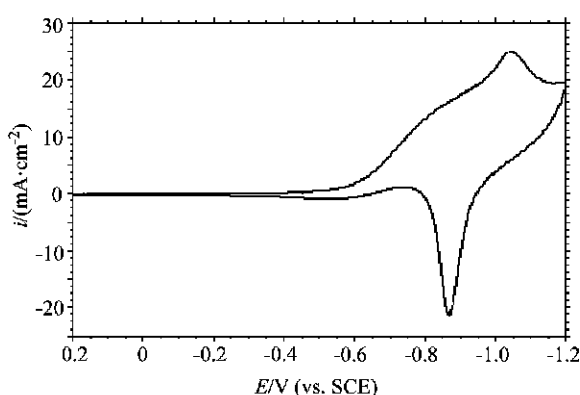


图 5 $\text{Ti}/\text{nano-TiO}_2$ 电极在 $0.25 \text{ mol} \cdot \text{L}^{-1}$ MA + $1 \text{ mol} \cdot \text{L}^{-1}$ H_2SO_4 中的循环伏安图

扫描速度: $0.05 \text{ V} \cdot \text{s}^{-1}$

Figure 5 Cyclic voltammetric behavior of the $\text{Ti}/\text{nano-TiO}_2$ electrode in $0.25 \text{ mol} \cdot \text{L}^{-1}$ maleic acid

sweep rate: $0.05 \text{ V} \cdot \text{s}^{-1}$

显变化, 显然这是由于电解液中的马来酸参与了随后化学催化反应的结果^[23]. 由于马来酸的还原电位 [−0.6 V (vs. SCE)] 与 $\text{TiO}_2/\text{Ti}_2\text{O}_3$ 电对的可逆电位相近, 因而对马来酸还原起作用的媒质为 $\text{TiO}_2/\text{Ti}_2\text{O}_3$, 而媒质 $\text{TiO}_2/\text{Ti(OH)}_3$ 则没有起作用, 所以第二对氧化还原峰的峰形保持不变, 这与硝基苯在 $\text{Ti}/\text{nano-TiO}_2$ 膜电极上的还原行为相似^[13]. 阴极峰电流随扫描速度的增加而增高(图 6), 无论在低扫描速度还是高扫描速度, 回扫期间均没有明显的阳极氧化峰存在, 这表明膜表面的 $\text{Ti}^{\text{IV}}/\text{Ti}^{\text{III}}$ 氧化还原电对起一种媒质作用, 电化学还原反应所产生的大量 Ti^{III} 和马来酸随后在电极表面上发生快速的化学催化反应, 从而催化再生大量 Ti^{IV} , 同时马来酸被间接还原为丁二酸, 反应式为:

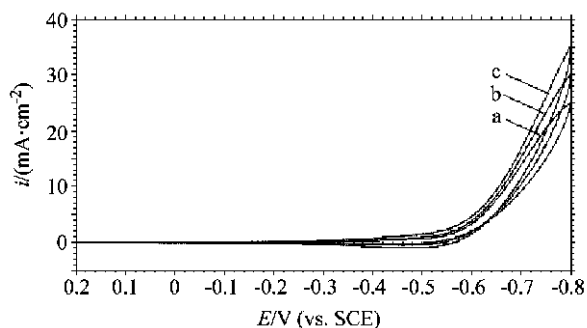


图 6 $\text{Ti}/\text{nano-TiO}_2$ 电极在 $0.25 \text{ mol} \cdot \text{L}^{-1}$ MA + $1 \text{ mol} \cdot \text{L}^{-1}$ H_2SO_4 中的循环伏安图

扫描速度: (a) $0.05 \text{ V} \cdot \text{s}^{-1}$; (b) $0.1 \text{ V} \cdot \text{s}^{-1}$; (c) $0.2 \text{ V} \cdot \text{s}^{-1}$

Figure 6 Cyclic voltammetric behavior of the $\text{Ti}/\text{nano-TiO}_2$ electrode in $0.25 \text{ mol} \cdot \text{L}^{-1}$ maleic acid at different sweep rates

(a) $0.05 \text{ V} \cdot \text{s}^{-1}$; (b) $0.1 \text{ V} \cdot \text{s}^{-1}$; (c) $0.2 \text{ V} \cdot \text{s}^{-1}$

由于 Ti^{III} 是经过化学反应氧化为 Ti^{IV} , 没有经过电极反应, 所以阳极峰电流消失, 而化学催化再生的大量 Ti^{IV} 进一步在电极上还原, 从而使阴极峰电流增大. 这一过程不断重复进行, 反应机理为电化学偶联随后化学催化反应(EC')机理^[24](图 7). 阴极峰电流 i_{pc} 随扫描速度的增加而升高, 这说明异相催化还原反应是快速的, 还原峰电位 E_{pc} 随扫描速度的增加向更负的方向漂移, 进一步表明随后有化学反应的存在.

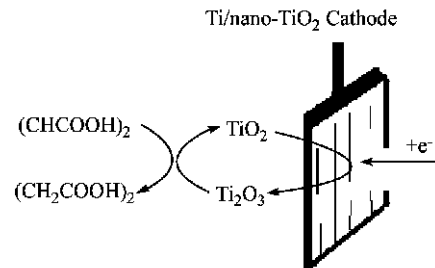


图 7 马来酸在 $\text{Ti}/\text{nano-TiO}_2$ 膜电极上间接电催化还原为丁二酸的过程

Figure 7 Indirect electrocatalytic reduction of maleic acid to butane diacid at the $\text{Ti}/\text{nano-TiO}_2$ film electrode

通过控制阴极电位在 −0.6 V (vs. SCE) 电解还原马来酸, 通入电量为 110% 理论电量, 电解液经冷却结晶得到产物丁二酸. 测定熔点为 184~188 °C (文献值为 185~187 °C), 含量为 99.2%, 电流效率可达 90% 以上.

3 结论

(1) 首次采用电化学合成前驱体直接水解法制备 Ti 基纳米 TiO_2 膜修饰电极. TiO_2 膜为多孔网状, 晶型为锐钛矿型, 晶粒平均尺寸为 25 nm.

(2) 通过循环方波伏安法和循环伏安法研究首次发现纳米 TiO_2 膜电极在硫酸介质中的阴极电化学行为表现为两对氧化还原过程, 即 $\text{TiO}_2/\text{Ti}_2\text{O}_3$ 和 $\text{TiO}_2/\text{Ti(OH)}_3$ 两个氧化还原电对的可逆电极过程, 可逆半波电位 $E_{1/2}^r$ 分别为 −0.53 V 和 −0.92 V (vs. SCE, 扫描速度 $0.05 \text{ V} \cdot \text{s}^{-1}$).

(3) 纳米 TiO_2 膜电极对马来酸具有异相电催化还原活性, 纳米 TiO_2 膜中的 $\text{TiO}_2/\text{Ti}_2\text{O}_3(\text{Ti}^{\text{IV}}/\text{Ti}^{\text{III}})$ 氧化还原电对作为媒质间接电还原马来酸为丁二酸, 反应机理为 EC' 机理. 纳米 TiO_2 膜与 Ti 基体结合牢固, 具有高度耐腐蚀性和稳定性, 是一种有机物电催化还原的高活性新型电极.

References

- Regan, B. O.; Gratzel, M. *Nature* **1991**, 353, 737.
- Kavan, L.; Gratzel, M.; Rathousky, J. *J. Electrochem. Soc.* **1996**, 143 (2), 394.
- Kavan, L.; Stoto, T.; Gratzel, M.; Fitzmaurice, D.;

- Shklover, V. *J. Phys. Chem.* **1993**, *97*, 9493.
- 4 Nazeeruddin, M. K.; Kay, A.; Rodicio, I.; Baker, R. H.; Muller, E.; Liska, P.; Vlachopoulos, N.; Gratzel, M. *J. Am. Chem. Soc.* **1993**, *115*, 6382.
- 5 Mbindyo, J. K. N.; Rusling, J. F. *Langmuir* **1998**, *14*, 7027.
- 6 Compton, R. G. ; Fisher, A. C. ; Tyley, G. P. *J. Appl. Electrochem.* **1991**, *21*, 2.
- 7 Beck, F. ; Gabriel, W. *Angew. Chem.* **1985**, *24*, 771.
- 8 Beck, F. *Electrochim. Acta* **1989**, *34*, 811.
- 9 Chu, D.-B. ; Zhou, X.-F. ; Lin, C.-J. *Chem. J. Chin. Univ.* **2000**, *21* (1), 133 (in Chinese).
(褚道葆, 周幸福, 林昌健, 高等学校化学学报, **2000**, *21* (1), 133.)
- 10 Zhou, X.-F. ; Chu, D.-B. ; Lin, C.-J. *Acta Chim. Sinica* **2000**, *11*, 1327 (in Chinese).
(周幸福, 褚道葆, 林昌健, 化学学报, **2000**, *11*, 1327.)
- 11 Zhou, X.-F. ; Chu, D.-B. ; Lin, C.-J. *Electrochim. Acta* **2002**, *47*, 2769.
- 12 Chu, D.-B. ; Shen, G.-X. ; Zhou, X.-F. ; Lin, C.-J. *Electrochemistry* **2001**, *2*, 249 (in Chinese).
(褚道葆, 沈广霞, 周幸福, 林昌健, 电化学, **2001**, *2*, 249.)
- 13 Chu, D.-B. ; Shen, G.-X. ; Zhou, X.-F. ; Lin, C.-J. *Chem. J. Chin. Univ.* **2002**, *23* (4), 678 (in Chinese).
(褚道葆, 沈广霞, 周幸福, 林昌健, 高等学校化学学报,
- 2002**, *23* (4), 678.)
- 14 Xiong, G. ; Zhi, Z. L. ; Wang, X. *J. Mater. Sci. Lett.* **1997**, *16*, 1064.
- 15 Bard, A. J. ; Faulkner, L. R. *Electrochemical Methods*, J. Wiley & Sons, New York, **1980**, p. 240.
- 16 Milazzo, G. ; Caroli, S. ; Shamma, V. K. *Tables of Standard Electrode Potentials*, A Wiley-Interscience, J. Wiley & Sons, **1978**, p. 17F.
- 17 Ravichandran, C. ; Chellammal, S. ; Anantharaman, P. N. *J. Appl. Electrochem.* **1989**, *19*, 465.
- 18 Ravichandran, C. ; Chellammal, S. ; Anantharaman, P. N. *J. Appl. Electrochem.* **1991**, *21*, 60.
- 19 Ravichandran, C. ; Noel, M. ; Anantharaman, P. N. *J. Appl. Electrochem.* **1994**, *24*, 965.
- 20 Ravichandran, C. ; Noel, M. ; Anantharaman, P. N. *J. Appl. Electrochem.* **1994**, *24*, 1256.
- 21 Vasudevan, D. ; Chellammal, S. ; Anantharaman, P. N. *J. Appl. Electrochem.* **1991**, *21*, 839.
- 22 Vasudevan, D. *J. Appl. Electrochem.* **1995**, *25*, 176.
- 23 Bard, A. J. ; Faulkner, L. R. *Electrochemical Methods*, J. Wiley & Sons, New York, **1980**, pp. 429~433.
- 24 Tian, Z.-W. *Electrochemical Methods*, Science Press, Beijing, **1984**, p. 131 (in Chinese).
(田昭武, 电化学研究方法, 科学出版社, 北京, **1984**, p. 131.)

(A0211282 CHENG, B.)